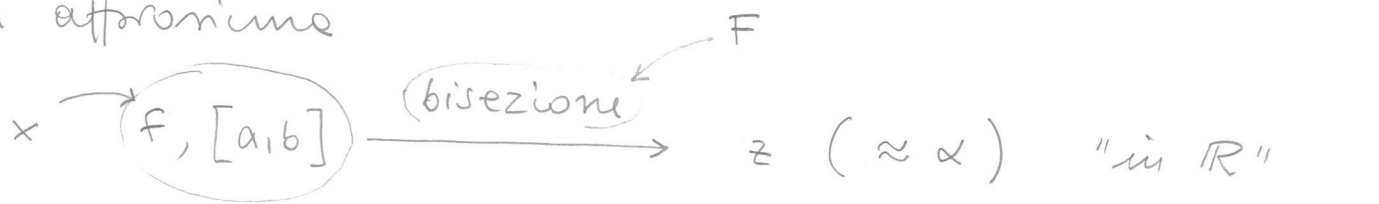
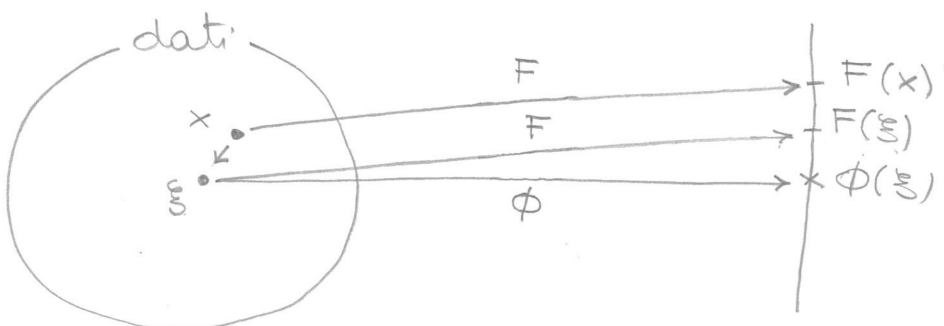
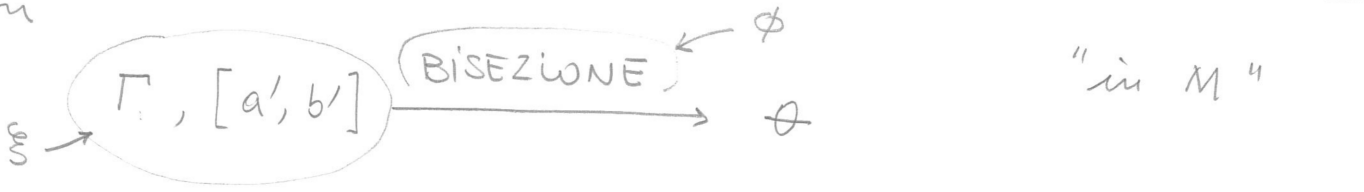


Es 2: $f: [a,b] \rightarrow \mathbb{R}$ continua, $f(a)f(b) < 0$, un solo zero in $[a,b] : \alpha$.

Si approssimo

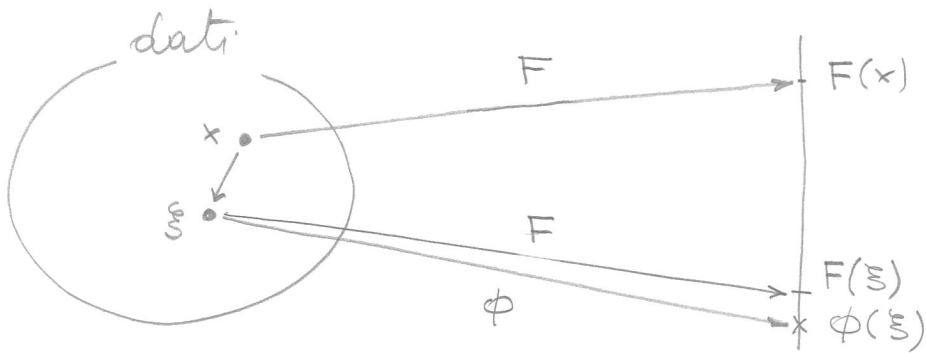


con



$\Gamma = \phi_1$

$$\Gamma = \phi_2$$



Misurando gli errori in senso assoluto...

- ϕ è un'operazione STABILE di F (BISEZIONE si comporta \approx bisezione)
- il condizionamento delle funzioni bisezione NON è buono (cambiando un pochino i dati cambia molto il risultato).

TEO $f: [a, b] \rightarrow \mathbb{R}$, $\delta > 0$

t.c.

• $f(a) < -\delta$, $f(b) > \delta$

• $f \in C^1$ su $[a, b]$ con $f' > 0$

e $g: [a, b] \rightarrow \mathbb{R}$ continua

t.c. $\forall x \in [a, b]$, $|f(x) - g(x)| < \delta$



$\Rightarrow \exists! \alpha \in [a, b]: f(\alpha) = 0$

Allora: • $\exists \beta \in [a, b]$ t.c. $g(\beta) = 0$

• $f(\beta) - f(\alpha) = f'(\gamma)(\beta - \alpha)$

con γ tra α e β (Teo di Lagrange)

$$\Rightarrow |\beta - \alpha| = \left| \frac{f(\beta)}{f'(\beta)} \right| < \frac{\delta}{m} \quad m = \min_{[a,b]} |f'(x)|$$

$$\left[|f(\beta)| = |f(\beta) - g(\beta)| < \delta \right]$$

ovvero: distanza (zero f , zero g)

$$< \frac{1}{m} \text{ distanza } (f, g)$$

"numero di
condizionam"

Es: Se ip non verificate...

- $f(x) = x^2$, $\alpha = 0$: $\forall \delta > 0$, $f + \delta$ NON ha zero!

- $f(x) = (x-2)^{13}$, $\alpha = 2$, $f'(2) = 0$

$$\delta = 10^{-13}, \quad (f - \delta)(x) = 0 \text{ per } x = 2 + \frac{1}{10}$$

ovvero:

$$\begin{aligned} \text{dist}(\text{zero } f, \text{zero } g) \\ = 10^{12} \text{ dist}(f, g) \end{aligned}$$

Considerazioni conclusive sul METODO di BISEZIONE

😊 - è robusto ...

- funziona anche su f non molto regolari (f continua)

☹️ - è neces trovare $[a, b]$ t.c. ...

- come generalizz per $f: \mathbb{R}^n \rightarrow \mathbb{R}^n$?

- "lento" ...

```

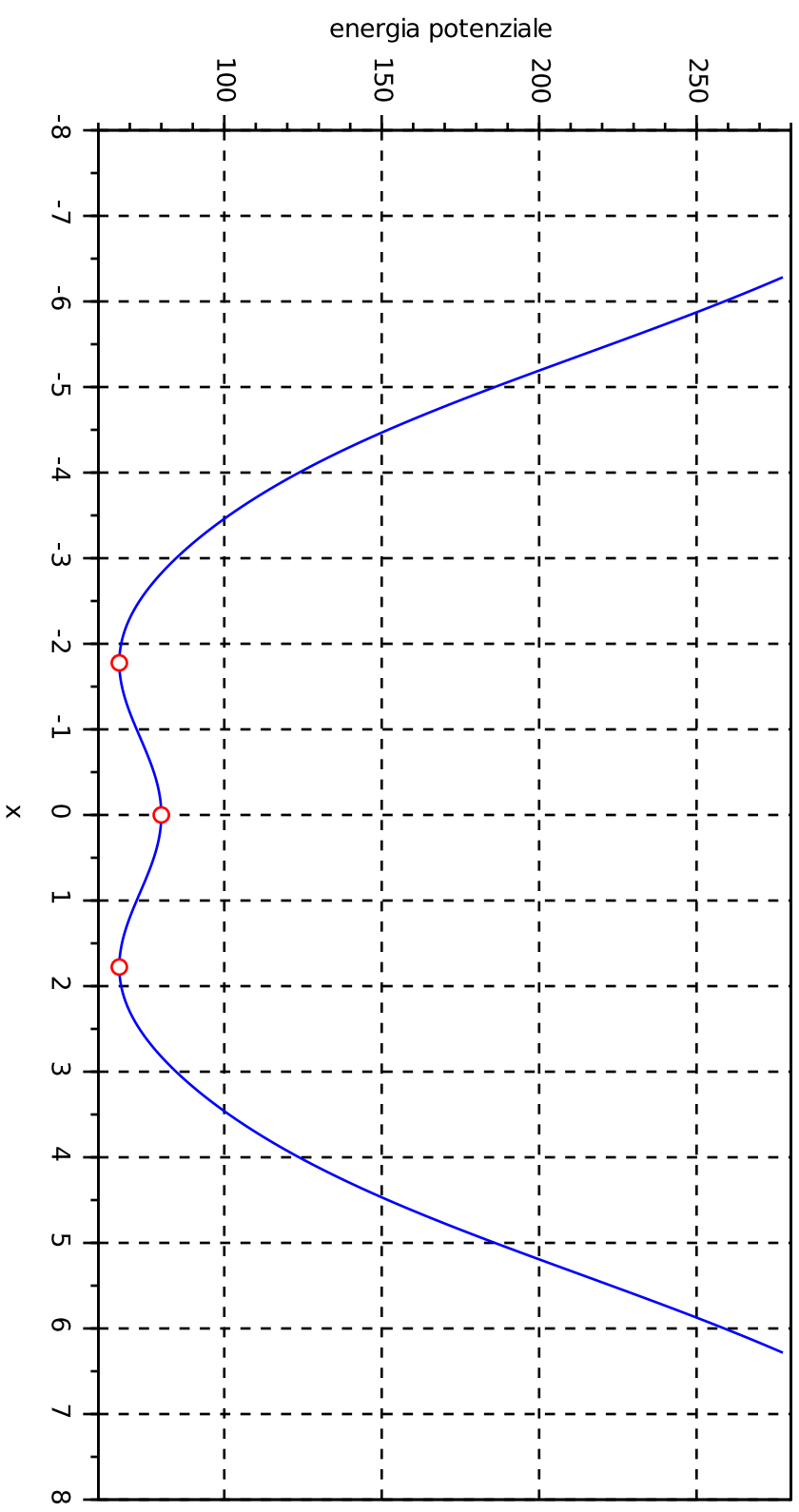
0001 //
0002 // Studio delle configurazioni di equilibrio di un punto materiale
0003 // pesante P, mobile su una guida liscia contenuta in un piano verticale
0004 // e soggetto all'azione di una molla. La molla, per la quale si suppone
0005 // valida la Legge di Hooke con lunghezza a riposo zero, ha l'estremo
0006 // non collegato a P fisso in un punto A del piano.
0007 //
0008 // La massa m del punto e la costante elastica K della molla sono
0009 // assegnate, come anche le coordinate del punto A e l'equazione della
0010 // guida rispetto ad un fissato sistema di riferimento nel piano con
0011 // asse x orizzontale verso destra e z verticale verso l'alto.
0012 //
0013 // Incognita del problema: ascissa delle configurazioni di equilibrio
0014 // del punto P.
0015 //
0016 // Essendo il vincolo liscio e le forze attive conservative, le
0017 // configurazioni di equilibrio sono punti stazionari della funzione
0018 // energia potenziale
0019 //
0020 //
0021 //  $V(x) = mg f(x) + \frac{1}{2} K ( (x - x(A))^2 + (f(x) - z(A))^2 )$ 
0022 //
0023 //
0024 // La funzione f che descrive la guida deve essere derivabile.
0025 //
0026 // ***** Costanti:
0027 m = 1; // kg
0028 g = 9.8; // m/s^2
0029 K = 10; // N/m
0030 coord_A = [0,4]; // m, coordinate di A
0031 // ***** Fine costanti
0032 //
0033 protezione = funcprot();
0034 funcprot(0);
0035 //
0036 // Funzione che descrive la guida e sua derivata
0037 //
0001 function z=f_guida(x)
0002     //z = (x.^2)/2; // (1)
0003     z = 1 - cos(x) // (2)
0004 endfunction
0042 //
0001 function dl=d1f_guida(x)
0002     //d1 = x // (1)
0003     d1 = sin(x) // (2)
0004 endfunction
0047 //
0048 // Energia potenziale del punto
0049 //
0001 function ep=V_punto(x)
0002     ep = m*g*f_guida(x) +...
0003         K*((x-coord_A(1)).^2 + (f_guida(x)-coord_A(2)).^2)/2
0004 endfunction
0054 //
0055 // Derivata della funzione energia potenziale
0056 //
0001 function y=d1V_punto(x)
0002     y = m*g*d1f_guida(x) +...
0003         K*((x-coord_A(1)) + (f_guida(x)-coord_A(2)).*d1f_guida(x))
0004 endfunction
0061 //
0062 // Ricerca intervalli che includono una configurazione di equilibrio.
0063 // La ricerca avviene utilizzando il Teorema di esistenza degli zeri
0064 // sulla funzione V'.
0065 //
0066 PuntiEq = []; // Colonna dei punti di equilibrio trovati (in m)
0067 Intervalli = []; // Matrice le cui colonne sono gli intervalli (in
0068 // teoria, ciascun intervallo include un punto di eq)
0069 //
0070 // *** Qui si sceglie in quale intervallo globale ricercare i punti
0071 // di equilibrio!
0072 xx = linspace(-2*pi,2*pi,401); // I potenziali estremi di intervalli:
0073 // si cercano tra questi zeri di V' oppure
0074 // punti adiacenti nei quali V' assume valori
0075 // di segno opposto.
0076 // ***
0077 Segnod1V = sign(d1V_punto(xx)); // sign(x) = 0 se x = 0 ecc...
0078 if Segnod1V(1) == 0 then PuntiEq(1) = xx(1); end;

```

```

0079 for i = 2:length(xx),
0080     if SegnodlV(i) == 0 then PuntiEq($+1) = xx(i);
0081         elseif SegnodlV(i-1) ~= 0 then
0082             if SegnodlV(i) ~= SegnodlV(i-1) then
0083                 Intervalli(1:2,$+1) = [xx(i-1);xx(i)]; end;
0084             end;
0085     end;
0086 // Adesso ho qualche configurazione di eq (quelle trovate tra le xx)
0087 // e intervalli che ne racchiudono altre
0088 //
0089 if PuntiEq ~= [] then
0090     for PE = PuntiEq,
0091         printf("\nx_eq = %3.2e\n",PE);
0092     end
0093 end
0094 //
0095 // ***** Ricerca configurazioni di eq
0096 //
0097 exec('..\Metodi\bisezione.sci');
0098 tol = 2d-6; // Individua ciascun punto di eq con errore assoluto
0099 // inferiore ad 1d-6 m (un micron)
0100 kmax = 55;
0101 //
0102 for Intervallo = Intervalli,
0103     a = Intervallo(1); b = Intervallo(2);
0104     [eq,v,info] = bisezione(dlV_punto,a,b,"assoluto",tol,kmax,"zitto");
0105     PuntiEq($+1) = eq;
0106     printf("\nx_eq = %3.2e",eq);
0107     printf("\ndlV(x_eq) = %3.2e",v);
0108     printf("\ninfo = %d\n",info);
0109 end;
0110 // ***** Fine ricerca configurazioni di eq
0111 //
0112 printf("\nConfigurazioni di equilibrio trovate: %d", length(PuntiEq));
0113 //
0114 // Grafico energia potenziale e derivata, con configurazioni eq trovate
0115 //
0116 scf(0); clf(0);
0117 subplot(221);
0118 plot(xx,V_punto(xx),"b");
0119 for eq = PuntiEq',
0120     plot(eq,V_punto(eq),"ro");
0121 end;
0122 xlabel("x");
0123 ylabel("energia potenziale");
0124 xgrid();
0125 subplot(223);
0126 plot(xx,dlV_punto(xx),"b");
0127 for eq = PuntiEq',
0128     plot(eq,dlV_punto(eq),"ro");
0129 end;
0130 xlabel("x");
0131 ylabel("derivata dell'energia potenziale");
0132 xgrid();
0133 //
0134 // Grafico configurazioni di equilibrio
0135 //
0136 subplot(222);
0137 plot2d(xx,f_guida(xx),frameflag=4);
0138 for eq = PuntiEq',
0139     plot2d([eq,coord_A(1)], [f_guida(eq),coord_A(2)],3);
0140     DisegnoMolla = gce(); // il compound...
0141     LineaDisegnoMolla = DisegnoMolla.children; // ...la linea.
0142     LineaDisegnoMolla.thickness = 3;
0143     plot(eq,f_guida(eq),"ro");
0144 end;
0145 plot(coord_A(1),coord_A(2),"ko");
0146 xlabel("x");
0147 ylabel("z");
0148 xtitle("configurazioni di equilibrio");
0149 xgrid();
0150 //
0151 funcprot(protezione);
0152 //

```



configurazioni di equilibrio

